

PH-1 | 41337-000

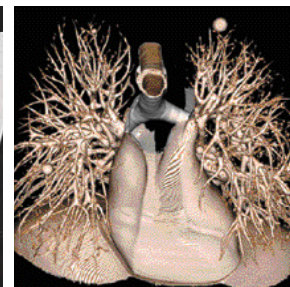
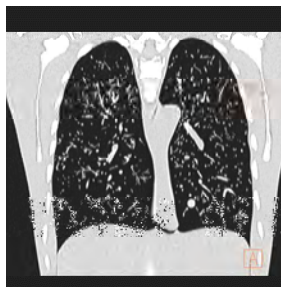
# Fantoma Multipropósito de Tórax N1 "LUNGMAN"



PH-1 ha sido usado en un estudio por la FDA para crear una base de datos de escaneos de TC con diferentes aparatos y protocolos, como una fuente para evaluación de métodos de estimación de tamaño de nódulos pulmonares.



¡Conozca más!



FANTOMAS DE TORAX

## CARACTERISTICAS

## APLICACIONES

- Absorción radiológica y UH similares a las del cuerpo humano.
- Los tumores simulados y otros objetivos se pueden colocar en cualquier punto dentro de los campos pulmonares.
- Amplia variedad de uso en el entrenamiento de interpretación, educación anatómica, evaluación de los aparatos y otras investigaciones.
- Posición adecuada del torso con los brazos en abducción para TC

- TC
- Rayos X
- Interpretación radiográfica

## ANATOMIA

El tórax contiene:

- cuerpo principal: Huesos sintéticos dentro del tórax.
- mediastino: corazón, tráquea, vasos pulmonares
- bloque abdominal (diafragma): ninguna estructura interna

Tumores simulados



Se pueden colocar los tumores simulados de cinco tamaños, para cada una de las tres variaciones de UH en posiciones arbitrarias en los campos pulmonares.



## DESCRIPCIONES

### CONTENIDO DEL JUEGO

- 1 torso torácico
- 15 tumores simulados (15 variaciones: 1 por cada var.)
- 1 set de datos de muestra de rayos X (DVD) manual

### MATERIALES

Tejido blando: resina de base uretano (densidad: 1.06)  
 Hueso sintético: resina epoxi (densidad: 1.31)  
 \*El fantoma no tiene partes metálicas o estructura líquida.

### ESPECIFICACIONES

Tamaño de fantoma:  
 43 x 20 x 48 cm, perímetro torácico 94 cm  
 17 x 8 x 18 plgds., perímetro torácico 37 plgds.  
 Peso de fantoma:  
 18 kg / 39.6 lb

Tamaño de empaque:  
 65 x 55 x 29 cm  
 26 x 22 x 11 plgds.  
 Peso de empaque:  
 25 kg / 55.1 lb

### PARTES OPCIONALES

- 41337-010 Placa torácica
- 41363-020 Caja de almacenamiento
- 41337-070 Tumores simulados



### REFERENCIAS PUBLICADAS

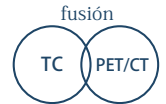
Xie, X., Zhao, Y., Snijder, R. A., van Ooijen, P. M., de Jong, P. A., Oudkerk, M., ... Greuter, M. J. (2013). Sensitivity and accuracy of volumetry of pulmonary nodules on low-dose 16- and 64-row multi-detector CT: an anthropomorphic phantom study. *European radiology*, 23(1), 139-147. doi:10.1007/s00330-012-2570-7

Gomi, T., Nakajima, M., Fujiwara, H., Umeda, T. (2011) Comparison of Chest Dual-energy Subtraction Digital Tomosynthesis Imaging and Dual-energy Subtraction Radiography to Detect Simulated Pulmonary Nodules with and without Calcifications. *Academic Radiology*, 18(2), 191-196. doi:10.1016/j.acra.2010.09.021



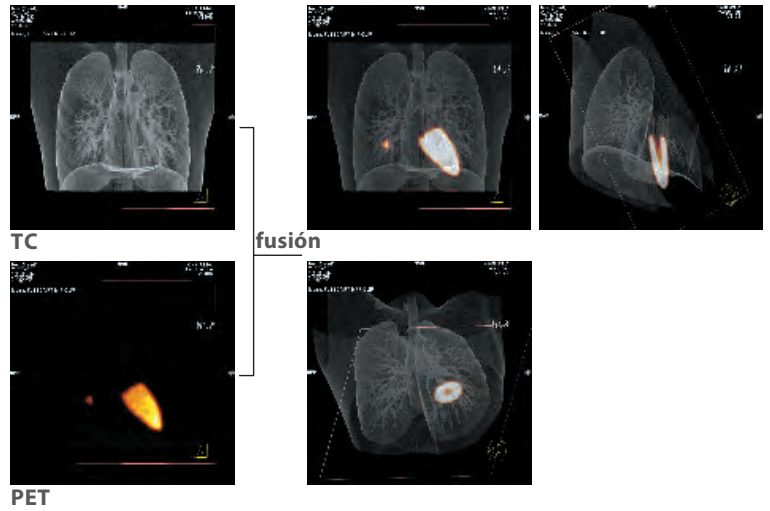
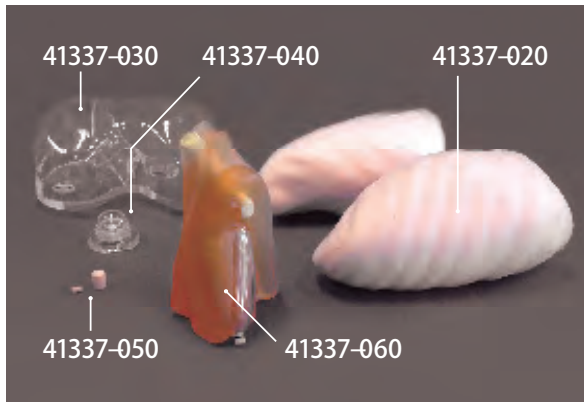
41337-020-

Parte opcional para PH-1



# Componentes para Radioisótopo

El set de insertos de contenedor de RI pueden ser colocado en el fantoma de tórax en los sitios para insertos estándares, permitiendo aplicaciones de investigación más amplias incluyendo la evaluación fusionada de PET/SPECT.



- 41337-020 Pulmones de uretano
- 41337-030 Contenedor de hígado para RI
- 41337-040 Contenedor de vesícula para RI
- 41337-050 Contenedor de nódulo pulmonar para RI
- 41337-060 Contenedor de mediastino con miocardio izquierdo para RI

## DESCRIPCIONES

### MATERIALES

- Contenedor: resina acrílica
- Hígado: resina acrílica
- Corazón: resina de base uretano
- Pulmón y nódulo pulmonar: resina de base uretano

PH-58

Parte opcional para PH-1

# Fantoma de Nódulos Subsólidos

Ambas opacidades en vidrio esmerilado mixta y pura son provistas en una variedad de tamaños y UH

Fantoma de Nódulos Subsólidos es un set de lesiones diseñadas para estudio y entrenamiento de detección e interpretación de Opacidades en Vidrio Esmerilado (OVE). Ambas OVE mixta y pura son provistas en una variedad de tamaños y UH. El set incluye la OVE 3D modelada con datos clínicos de TC. Las lesiones simuladas se pueden colocar en los vasos pulmonares del Fantoma Multipropósito de Tórax N1 "LUNGMAN" o del Fantoma de TC de Pulmón.

41923-000 No.1-7 Concéntrico

No. Item	Campo de OVE		Campo sólido		Tipo
	Diámetro	UH	Diámetro	UH	
1	1.5 cm 0.59 plgds.	-650	0.5 cm/0.20 plgds.	-50	Concéntrico
2				0	
3				50	
4	2.0 cm 0.79 plgds.	-650	0.3 cm/0.12 plgds. 0.5 cm/0.20 plgds. 0.7 cm/0.28 plgds. 0.9 cm/0.35 plgds.	0	
5					
6					
7					

41923-100 No.8-10 Excéntrico

No. Item	Campo de OVE		Campo sólido		Tipo
	Diámetro	UH	Diámetro	UH	
8	1.5 cm 0.59 plgds.	-650	0.5 cm/0.20 plgds.	-50	Excéntrico
9				0	
10				50	

41923-200 No.11-12 Excéntrico

No. Item	Campo de OVE		Campo sólido		Tipo
	Diámetro	UH	Diámetro	UH	
11	2.0 cm 0.79 plgds.	-650	0.3 cm/0.12 plgds. 0.5 cm/0.20 plgds.	0	Excéntrico
12				0.5 cm/0.20 plgds. 0.7 cm/0.28 plgds.	

41923-300 No. a-h OVE pura

No. Item	Campo de OVE		Campo sólido		Tipo
	Diámetro	UH	Diámetro	UH	
a	1.5 cm 0.59 plgds.	-750	-	-	OVE pura
b		-650	-	-	
c		-550	-	-	
d		-450	-	-	
e		-350	-	-	
f		-250	-	-	
g		-150	-	-	
h		-50	-	-	

OVE 3D

No. Item	Campo de OVE		Campo sólido		Tipo
	Diámetro	UH	Diámetro	UH	
OVE 3D	1.5 x 1.5 cm 0.59 x 0.59 plgds.	-590	-	-	-

# Kyoto Kagaku Familia de Fantomas de Tórax

El tórax contiene los órganos cruciales para nuestra vida, y el cáncer pulmonar sigue siendo el cáncer más frecuente. Aquí está la familia de fantomas de tórax que ayudan en el desarrollo de capacidades para diagnósticos y tratamiento mejores.

Desempeño para menor dosis



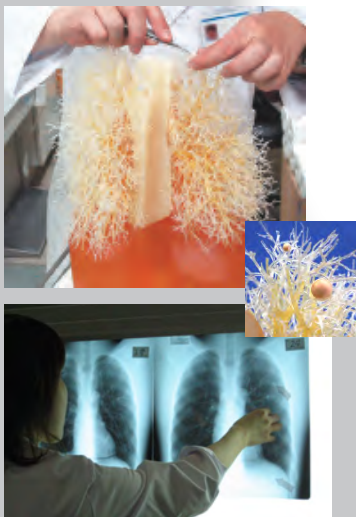
PH-8 Fantoma de TC para Exploración de Cáncer de Pulmón LSCT001



PH-58 Nódulos subsólidos

Posibilidades extensas para estudio y entrenamiento

Coloque los tumores simulados y mejore su técnica de interpretación



PH-1 Fantoma Multipropósito de Tórax N1 "LUNGMAN"

Radioterapia



PH-39 Fantóma de Tórax Dinámico



Componentes para Radioisótopo para "LUNGMAN"

Variación del tamaño de cuerpo



PH-1C Fantoma Pediátrico de Tórax



Placas torácicas para "LUNGMAN"



Variación de modalidad



PH-65 Fantoma de Tórax para PET/SPECT